

พจนง CU-763-10-01 ต่ออักษรนี้เรียนที่แยกจากสัตว์ทดลอง

นางสาว อุราอัตน์ ศักดิ์อิษิริวัฒน์



## สถาบันวิทยบริการ

วิทยานิพนธ์นี้เป็นส่วนหนึ่งของการศึกษาตามหลักสูตรปริญญาเอกด้านคุณภาพมาตรฐาน  
ภาควิชาเกษตรศาสตร์  
ภาควิชาเกษตรศาสตร์

นักศึกษาอั้ย ฤทธาองกรณ์มหาวิทยาลัย

ปีการศึกษา 2539

ISBN 974-834-878-7

จัดทำโดยนักศึกษาอั้ย ฤทธาองกรณ์มหาวิทยาลัย

**EFFECT OF CU-763-10-01 ON ISOLATED SMOOTH MUSCLE**

**MISS URARAT SAKSITVIVATANA**

**A Thesis Submitted in Partial Fulfillment of the Requirements**

**for the Degree of Master of Science in Pharmacy**

**Department of Pharmacology**

**Graduate School**

**Chulalongkorn University**

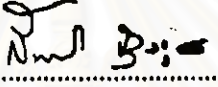
**Academic Year 1996**

**ISBN 974-634-878-7**

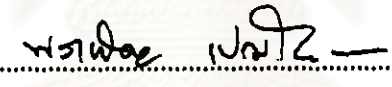
หัวขอวิทยานิพนธ์ ผลของ CU-763-10-01 ต่อกล้านเนื้อเรียบที่แยกจากสัตว์ทดลอง  
โดย นางสาวธาราวดัน ศักดิ์ศิริชีวัฒนา  
ภาควิชา เภสัชวิทยา  
อาจารย์ที่ปรึกษา รองศาสตราจารย์ ดร.ประสาร ธรรมอุปกรณ์

---

บันทึกวิทยาลัย ฯพณฯกรรณมหาวิทยาลัย อนุมัติให้นับวิทยานิพนธ์ฉบับนี้เป็นส่วนหนึ่ง  
ของการศึกษาตามหลักสูตรปริญญามหาบัณฑิต

  
.....คณบดีบันทึกวิทยาลัย  
(รองศาสตราจารย์ ดร.สันติ อุ่งสุวรรณ)

คณะกรรมการสอนวิทยานิพนธ์

  
.....ประธานกรรมการ  
(รองศาสตราจารย์ ดร.พรเพ็ญ เปรมไชยิน)

  
.....อาจารย์ที่ปรึกษา  
(รองศาสตราจารย์ ดร.ประสาร ธรรมอุปกรณ์)

  
.....กรรมการ  
(รองศาสตราจารย์ ดร.ประกร ชัยวงศ์)

  
.....กรรมการ  
(ผู้ช่วยศาสตราจารย์ ดร.จันยา ภัทรพาณิช)

พิมพ์ดันฉบับปกด้วยวิทยานิพนธ์ภายในการอบสีเขียวเพียงแผ่นเดียว

อุรารัตน์ ศักดิ์สิทธิ์วัฒนา : ผลงาน CU-763-10-01 ต่อกล้ามเนื้อเรียบที่แยกจากสัตว์ทดลอง  
(EFFECT OF CU-763-10-01 ON ISOLATED SMOOTH MUSCLE) อ.ที่ปรึกษา : รศ.ดร. ประสาณ  
ธรรมอุปกรณ์, 88 หน้า. ISBN 974-634-878-7

จากการศึกษาฤทธิ์ทางเภสัชวิทยาของ CU-763-10-01 ต่อการหดตัวของกล้ามเนื้อเรียบของลำไส้เล็ก (duodenum) หลอดเลือดแดงใหญ่ (aorta) และ กล้ามเนื้อเรียบท่ออสุจิ (vas deferens) ของหมูขาว พนกว่า CU-763-10-01 สามารถลดการหดตัวของกล้ามเนื้อเรียบลำไส้เล็ก ( duodenum) เมื่อการตุ้นด้วย Ach  $1 \times 10^{-7}$ M, 5HT  $1 \times 10^{-9}$ M, KCl 50 mM และ BaCl<sub>2</sub> 1 mM และลดการหดตัวของกล้ามเนื้อเรียบท่อแดงใหญ่ ( aorta ) เมื่อการตุ้นด้วย KCl 50 mM นอกจากนี้ CU-763-10-01 ยังลดการหดตัวของกล้ามเนื้อเรียบท่ออสุจิ (vas deferens) เมื่อการตุ้นด้วย NE  $1 \times 10^{-9}$ M, KCl 50 mM และ BaCl<sub>2</sub> 1 mM จากผลการทดลองแสดงว่า CU-763-10-01 มีฤทธิ์ลดการหดตัวของกล้ามเนื้อได้โดยไม่เฉพาะเจาะจงต่อตัวรับสัมผัสใด ๆ ก็ได้ การออกฤทธิ์หลักของ CU-763-10-01 คือ ยับยั้งการเคลื่อนที่ของแคลเซียมผ่านทาง potential operated calcium channel (POC) และ receptor operated calcium channel (ROC) และในการทดลองนี้พบว่า CU-763-10-01 เพิ่มการหดตัวของหลอดเลือดเมื่อการตุ้นด้วย NE  $1 \times 10^{-9}$ M และ 5HT  $1 \times 10^{-9}$ M ซึ่งกลไกการออกฤทธิ์ยังไม่สามารถอธิบายได้ซึ่งจะต้องทำการศึกษาต่อไป การแสดงฤทธิ์ทางเภสัชวิทยาของ CU-763-10-01 ไม่เหมือนกับฤทธิ์ของ sodium valproate และ pyridoxine

สถาบันวิทยบริการ  
จุฬาลงกรณ์มหาวิทยาลัย

## C775457 : MAJOR MAJOR PHARMACOLOGY

KEY WORD: CU-763-10-01 / RABBIT DUODENUM , AORTA / RAT VAS DEFERENS  
URARAT SAKSITVIVATANA : EFFECT OF CU-763-10-01 ON ISOLATED SMOOTH  
MUSCLE. THESIS ADVISOR : ASSO. PROF. PRASAN DHUMMA- UPAKORN ,  
Ph.D. 88 pp. ISBN 974-634-878-7

The effect of CU-763-10-01 on the contraction of isolated rabbit duodenum, rabbit aorta and rat vas deferens was studied in the present investigation. CU-763-10-01  $4.4 \times 10^{-5}$  M significantly reduced the contraction of rabbit duodenum induced by Ach  $1 \times 10^{-7}$  M , 5HT  $1 \times 10^{-6}$  M, KCl 50 mM and BaCl<sub>2</sub> 1 mM. The same concentration of CU-763-10-01 also reduced the contraction of rabbit aorta induced by NE  $1 \times 10^{-6}$  M, 5HT  $1 \times 10^{-6}$  M and KCl 50 mM and the contraction of rat vas deferens by NE  $1 \times 10^{-6}$  M, KCl 50 mM and BaCl<sub>2</sub> 1 mM. These results suggested that the mechanism of action of CU-763-10-01 may involve the interfering of Ca<sup>2+</sup> influx via POC and ROC. However the mechanism of action of CU-763-10-01 which increase contraction of rabbit aorta induced by NE and 5HT is not clearly understood , and need to do the further investigation. The pharmacological actions of CU-763-10-01 are unlike those of sodium valproate and pyridoxine.

สถาบันวิทยบริการ  
จุฬาลงกรณ์มหาวิทยาลัย

ภาควิชา เภสัชวิทยา

อาจารย์เชื่อมนิติ ฤทธิ์ตันตระ ศักดิ์สินธิ์วัฒน์

สาขาวิชา เภสัชวิทยา

อาจารย์เชื่อมอาจารย์ที่ปรึกษา อรุณ พงษ์บูรณ์

ปีการศึกษา 2539

อาจารย์เชื่อมอาจารย์ที่ปรึกษาร่วม

## กิตติกรรมประกาศ



ในการศึกษาวิจัยนี้ ผู้วิจัยขอขอบพระคุณ รองศาสตราจารย์ ดร.ประสาร ธรรมอุปกรณ์ อาจารย์ที่ปรึกษาวิทยานิพนธ์ ที่กรุณาให้คำปรึกษา ให้ความรู้ คำแนะนำ ตลอดจนให้ความช่วยเหลือทุกๆ ด้าน ทำให้วิทยานิพนธ์สำเร็จลุล่วงไปด้วยดี

ขอขอบพระคุณ รองศาสตราจารย์ ดร.พรเพ็ญ เปรมไชยิน หัวหน้าภาควิชา เกสัชวิทยา ที่ กรุณาขยันหาความและความแก่ผู้วิจัยในเรื่องการใช้สถานที่ เครื่องมือ และอุปกรณ์ต่างๆ ในการทำวิจัยครั้งนี้ และกรุณาเป็นประธานกรรมการในการสอบวิทยานิพนธ์

ขอขอบพระคุณ ผู้ช่วยศาสตราจารย์ ดร.ชานาญ กัตรพาณิชและคุณแมลินเกียรติ สงกราน ภาคเภสัชเกนี คณะเภสัชศาสตร์ จุฬาลงกรณ์มหาวิทยาลัย ที่ได้สังเคราะห์สารให้แก่การวิจัยครั้งนี้

ขอขอบพระคุณ รองศาสตราจารย์ ดร. ประกร ญาพงษ์ ที่ได้กรุณาให้คำแนะนำที่เป็นประโยชน์ต่อวิทยานิพนธ์นี้

ขอขอบพระคุณคณาจารย์ทุกท่านที่ในภาคเภสัชวิทยาและนักภาควิชา ที่ได้ให้ความรู้ ตลอดการศึกษาในระดับมหาบัณฑิต

ขอขอบพระคุณบัณฑิตวิทยาลัย จุฬาลงกรณ์มหาวิทยาลัย ที่กรุณาให้ทุนอุดหนุนการทำวิทยานิพนธ์ในครั้งนี้

ขอขอบพระคุณ คุณพรชุด ศุภกรชัยพิมพ์ คุณสุรัตน์ จิตต์สว่างคี คุณวนิดา บุญเอกสาร์ดัน คณะศิลป์ จุฬาลงกรณ์มหาวิทยาลัย ที่กรุณาให้ความช่วยเหลือทำสื่อประกอบการทำวิทยานิพนธ์ในครั้งนี้

สุดท้ายผู้วิจัยขอรบกวนขอบพระคุณบิดา นารค่า ที่ได้ให้การสนับสนุน และ ขอบพระคุณ บุคคลอื่นๆ ที่ได้ให้กำลังใจในการทำวิจัยครั้งนี้ จนสำเร็จไปด้วยดี

จุฬาลงกรณ์มหาวิทยาลัย

อุรารัตน์ ศักดิ์สิทธิ์วัฒนา

## สารบัญ

	หน้า
บทคัดย่อภาษาไทย.....	๑
บทคัดย่อภาษาอังกฤษ.....	๑
กิตติกรรมประกาศ.....	๙
สารบัญ.....	๙
สารบัญตาราง.....	๑๔
สารบัญรูปภาพ.....	๑๕
คำอธิบายสัญลักษณ์และคำย่อ.....	๑๖

### บทที่

#### 1 บทนำ

CU-763-10-01

- การศึกษาทางเภสัชเคมี.....	2
- สูตรโภชสารร่าง.....	3
- การศึกษาทางเภสัชวิทยา.....	3
กลไกการหลดตัวของถ้ามเนื้อเรียน.....	4
บทบาทของแคลเซียมต่อการหลดตัวของถ้ามเนื้อเรียน.....	7
วัตถุประสงค์ของการวิจัย.....	10
ประโยชน์ที่คาดว่าจะได้รับจากการวิจัย.....	10

#### 2 อุปกรณ์และวิธีดำเนินการวิจัย

ส่วนทอกดง เครื่องมือ และสารเคมี.....	11
วิธีดำเนินการวิจัย	
การเตรียมลำไส้เล็ก (duodenum) กระด่าย.....	13
การเตรียมหกตัดเลือดแดงใหญ่ (aorta) กระด่าย.....	15
การเตรียมถ้ามเนื้อท่ออสุจิ (vas deferens) หมูขาว.....	15

## สารบัญ (ต่อ)

หน้า

<b>ศึกษาผลของ CU-763-10-01 ต่อการหดตัวของกล้ามเนื้อเรียบเมื่อได้รับสารมาตรฐานกระตุ้นการหดตัว.....</b>	<b>18</b>
- ศึกษาผลของ CU-763-10-01 ต่อการหดตัวที่เกิดขึ้นเอง.....	19
- ศึกษาผลของ CU-763-10-01 ต่อการหดตัวของกล้ามเนื้อเรียบสำหรับส่วน duodenum เมื่อกระตุ้นด้วย KCl และ BaCl <sub>2</sub> .....	20
- ศึกษาผลของ CU-763-10-01 ต่อการหดตัวของกล้ามเนื้อหลอดเลือดแดงใหญ่ ของกระต่าย เมื่อกระตุ้นด้วย NE, SHT และ KCl.....	20
- ศึกษาผลของ CU-763-10-01 ต่อการหดตัวของกล้ามเนื้อท่ออสุจิ เมื่อกระตุ้นด้วย NE, KCl และ BaCl <sub>2</sub> .....	21
<b>ศึกษาผลของ S.V. ต่อการหดตัวของกล้ามเนื้อเรียบเมื่อได้รับการกระตุ้น โดยสารมาตรฐานกระตุ้นการหดตัว</b>	
- ศึกษาผลของ S.V. ต่อการหดตัวของกล้ามเนื้อเรียบสำหรับส่วน duodenum เมื่อกระตุ้นด้วย KCl.....	21
- ศึกษาผลของ S.V. ต่อการหดตัวของกล้ามเนื้อหลอดเลือดแดงใหญ่ (aorta) เมื่อกระตุ้นโดย NE, SHT และ KCl .....	22
- ศึกษาผลของ S.V. ต่อการหดตัวของกล้ามเนื้อท่ออสุจิ (vas deferens) เมื่อกระตุ้นด้วย NE, KCl และ BaCl <sub>2</sub> .....	22
<b>ศึกษาผลของ B<sub>6</sub> ต่อการหดตัวของกล้ามเนื้อเรียบเมื่อได้รับการกระตุ้น โดยสารมาตรฐานกระตุ้นการหดตัว</b>	
- ศึกษาผลของ B <sub>6</sub> ต่อการหดตัวของกล้ามเนื้อเรียบสำหรับส่วน duodenum เมื่อกระตุ้นด้วย KCl .....	23
- ศึกษาผลของ B <sub>6</sub> ต่อการหดตัวของกล้ามเนื้อหลอดเลือดแดงใหญ่ (aorta) เมื่อกระตุ้นโดย NE, SHT และ KCl.....	23
- ศึกษาผลของ B <sub>6</sub> ต่อการหดตัวของกล้ามเนื้อท่ออสุจิ (vas deferens) เมื่อกระตุ้นด้วย NE, KCl และ BaCl <sub>2</sub> .....	24

## สารบัญ (ต่อ)

	หน้า
การวัดผลและการนำเสนอผลการวิจัย.....	24
การวิเคราะห์ข้อมูลทางสถิติ.....	26
<b>3 ผลกระทบของ</b>	
<b>ผลต่อการหดตัวของลำไส้เล็ก (duodenum) กระต่าย</b>	
- ผลต่อ spontaneous contraction .....	29
- ผลต่อการหดตัวที่เกิดจากการกระตุ้นด้วย Ach.....	30
- ผลต่อการหดตัวที่เกิดจากการกระตุ้นด้วย SHT.....	30
- ผลต่อการหดตัวที่เกิดจากการกระตุ้นด้วย BaCl <sub>2</sub> .....	30
- ผลต่อการหดตัวที่เกิดจากการกระตุ้นด้วย KCl .....	34
<b>ผลต่อการหดตัวของกล้ามเนื้อหลอดเดือดแดงใหญ่ (aorta) กระต่าย</b>	
- ผลต่อการหดตัวที่เกิดจากการกระตุ้นด้วย NE.....	38
- ผลต่อการหดตัวที่เกิดจากการกระตุ้นด้วย SHT.....	38
- ผลต่อการหดตัวที่เกิดจากการกระตุ้นด้วย KCl.....	43
<b>ผลต่อการหดตัวท่อนำอุจิ (vas deferens) หมาขาว</b>	
- ผลต่อการหดตัวที่เกิดจากการกระตุ้นด้วย KCl.....	48
- ผลต่อการหดตัวที่เกิดจากการกระตุ้นด้วย BaCl <sub>2</sub> .....	53
- ผลต่อการหดตัวที่เกิดจากการกระตุ้นด้วย NE.....	64
 <b>รายงานวิทยบรการ</b>	
<b>4 อกิปราชยและสรุปผลการทดลอง</b>	
อกิปราชยผลการทดลอง.....	70
สรุปผลการทดลอง.....	79
<b>รายการอ้างอิง.....</b>	82
<b>ประวัติผู้เขียน.....</b>	88

## สารบัญตาราง

ตารางที่

หน้า

- |   |    |
|---|----|
| 1. แสดงคุณสมบัติของ Potential operated calcium channel                          | 6  |
| 2. แสดงส่วนประกอบของสารชีวนิคต่างๆใน Physiological Solution<br>ที่ใช้ในการทดสอบ | 14 |

สถาบันวิทยบริการ  
จุฬาลงกรณ์มหาวิทยาลัย

## สารบัญรูปภาพ

รูปภาพที่

หน้า

1.	แสดงสูตรโครงสร้างของ V.P.....	1
2.	แสดงสูตรโครงสร้างของ CU-763-10-01.....	3
3.	แสดงกลไกที่เกี่ยวข้องกับการเพิ่มขึ้นของแกตเซย์มอสราภัยในเซลล์.....	5
4.	แสดงกลไกการหดดัวและถ่ายเท้าหัวของกล้ามเนื้อเรียบ.....	9
5.	แสดงการจัดเรื่องมือสำหรับทดลอง.....	12
6.	แสดงตัวเหนี่ยวและ การเตรียมกล้ามเนื้อเรียบสำหรับการทดลอง.....	16
7.	แสดงตัวเหนี่ยวและ การเตรียมกล้ามเนื้อเรียบที่ถูกหดด้วยเอนไซม์.....	17
8.	แสดงตัวเหนี่ยวและ การเตรียมกล้ามเนื้อเรียบท่ออสูร.....	19
9.	แสดงวิธีการวัดผลการหดดัวของกล้ามเนื้อเรียบสำหรับการทดลอง.....	25
10.	แสดงวิธีการวัดผลของกล้ามเนื้อเรียบท่ออสูร.....	27
11.	แสดงผลของ CU-763-10-01 ขนาด $4.4 \times 10^{-6}$ M และ $4.4 \times 10^{-5}$ M เปรียบเทียบกับ S.V. และ B <sub>6</sub> ขนาด $4.4 \times 10^{-5}$ M ต่อ spontaneous contraction.....	29
12.	แสดงผลของ CU-763-10-01 ขนาด $4.4 \times 10^{-5}$ M ที่ลดการหดดัวของสำหรับการหดดัวที่เกิดจากการกระตุ้นด้วย Ach ขนาด $1 \times 10^{-6}$ M.....	31
13.	แสดงผลของ CU-763-10-01 ขนาด $4.4 \times 10^{-5}$ M ที่ลดการหดดัวของสำหรับการหดดัวที่เกิดจากการกระตุ้นด้วย SHT ขนาด $1 \times 10^{-6}$ M.....	32
14.	แสดงผลของ CU-763-10-01 ขนาด $4.4 \times 10^{-5}$ M ที่ลดการหดดัวของสำหรับการหดดัวที่เกิดจากการกระตุ้นด้วย BaCl <sub>2</sub> ขนาด 1 mM.....	33
15.	แสดงผลของ CU-763-10-01 ขนาด $4.4 \times 10^{-5}$ M ที่ลดการหดดัวที่เกิดจากการกระตุ้นด้วย KCl ขนาด 50 mM.....	35
16.	แสดงผลของ S.V. และ B <sub>6</sub> ขนาด $4.4 \times 10^{-5}$ M ต่อการหดดัวที่เกิดจากการกระตุ้นด้วย KCl ขนาด 50 mM.....	36

## สารบัญรูปภาพ (ต่อ)

รูปภาพที่	หน้า
17. กราฟแสดงผลของ CU-763-10-01 ขนาด $4.4 \times 10^{-5}$ M ต่อการหดตัวของลำไส้ เล็กเบริชบเทียบกับ S.V. และ B <sub>6</sub> ขนาด $4.4 \times 10^{-5}$ M กระตุ้นด้วย KCl ขนาด 50 mM.....	37
18. แสดงผลของ CU-763-10-01 ขนาด $4.4 \times 10^{-5}$ M ต่อการหดตัวของ หลอดเลือดแดงกระต่ายที่เกิดจากการกระตุ้นด้วย NE ขนาด $1 \times 10^{-6}$ M.....	39
19. แสดงผลของ S.V. ขนาด $4.4 \times 10^{-5}$ M ต่อการหดตัวของหลอดเลือดแดง กระต่ายที่เกิดจากการกระตุ้นด้วย NE ขนาด $1 \times 10^{-6}$ M.....	40
20. แสดงผลของ B <sub>6</sub> ขนาด $4.4 \times 10^{-5}$ M ต่อการหดตัวของหลอดเลือดแดง กระต่ายที่เกิดจากการกระตุ้นด้วย NE ขนาด $1 \times 10^{-6}$ M.....	41
21. กราฟแสดงผลของ CU-763-10-01 ขนาด $4.4 \times 10^{-5}$ M ต่อการหดตัวของ หลอดเลือดเบริชบเทียบกับ S.V. และ B <sub>6</sub> ขนาด $4.4 \times 10^{-5}$ M กระตุ้นด้วย NE ขนาด $1 \times 10^{-6}$ M.....	42
22. แสดงผลของ CU-763-10-01 ขนาด $4.4 \times 10^{-5}$ M ต่อการหดตัวของ หลอดเลือดแดงกระต่ายที่เกิดจากการกระตุ้นด้วย SHT ขนาด $1 \times 10^{-6}$ M.....	44
23. แสดงผลของ S.V. ขนาด $4.4 \times 10^{-5}$ M ต่อการหดตัวของหลอดเลือดแดง กระต่ายที่เกิดจากการกระตุ้นด้วย SHT ขนาด $1 \times 10^{-6}$ M.....	45
24. แสดงผลของ B <sub>6</sub> ขนาด $4.4 \times 10^{-5}$ M ต่อการหดตัวของหลอดเลือดแดง กระต่ายที่เกิดจากการกระตุ้นด้วย SHT ขนาด $1 \times 10^{-6}$ M.....	46
25. กราฟแสดงผลของ CU-763-10-01 ขนาด $4.4 \times 10^{-5}$ M ต่อการหดตัวของ หลอดเลือดเบริชบเทียบกับ S.V. และ B <sub>6</sub> ขนาด $4.4 \times 10^{-5}$ M กระตุ้นด้วย SHT ขนาด $1 \times 10^{-6}$ M.....	47
26. แสดงผลของ CU-763-10-01 ขนาด $4.4 \times 10^{-5}$ M ต่อการหดตัวของ หลอดเลือดแดงกระต่ายที่เกิดจากการกระตุ้นด้วย KCl ขนาด 50 mM.....	49

## สารบัญปีกาน (ต่อ)

ปีกานที่	หน้า
27. แสดงผลของ S.V. ขนาด $4.4 \times 10^{-5}$ M ต่อการทดสอบหลอดเลือดแดง กระด่ายที่เกิดจากการกระตุ้นด้วย KCl ขนาด 50 mM.....	50
28. แสดงผลของ B <sub>6</sub> ขนาด $4.4 \times 10^{-5}$ M ต่อการทดสอบหลอดเลือดแดง กระด่ายที่เกิดจากการกระตุ้นด้วย KCl ขนาด 50 mM.....	51
29. กราฟแสดงผลของ CU-763-10-01 ขนาด $4.4 \times 10^{-5}$ M ต่อการทดสอบของ หลอดเลือดเปรียบเทียบกับ S.V. และ B <sub>6</sub> ขนาด $4.4 \times 10^{-5}$ M กระตุ้นด้วย KCl ขนาด 50 mM.....	52
30. แสดงผลของ CU-763-10-01 ขนาด $4.4 \times 10^{-6}$ M และ $4.4 \times 10^{-5}$ M ต่อการ ทดสอบของท่ออสูจิเมื่อกระตุ้นด้วย KCl ขนาด 50 mM.....	54
31. กราฟแสดงผลของ CU-763-10-01 ขนาด $4.4 \times 10^{-6}$ M ต่อการทดสอบของ ท่ออสูจิเปรียบเทียบกับ CU-763-10-01 ขนาด $4.4 \times 10^{-5}$ M เมื่อกระตุ้นด้วย KCl ขนาด 50 mM.....	55
32. แสดงผลของ S.V. ขนาด $4.4 \times 10^{-5}$ M ต่อการทดสอบของท่ออสูจิ หมูขาวที่เกิดจากการกระตุ้นด้วย KCl ขนาด 50 mM.....	56
33. แสดงผลของ B <sub>6</sub> ขนาด $4.4 \times 10^{-5}$ M ต่อการทดสอบของท่ออสูจิ หมูขาวที่เกิดจากการกระตุ้นด้วย KCl ขนาด 50 mM.....	57
34. กราฟแสดงผลของ CU-763-10-01 ขนาด $4.4 \times 10^{-5}$ M ต่อการทดสอบของ ท่ออสูจิเปรียบเทียบกับ S.V. และ B <sub>6</sub> ขนาด $4.4 \times 10^{-5}$ M กระตุ้นด้วย KCl ขนาด 50 mM.....	58
35. แสดงผลของ CU-763-10-01 ขนาด $4.4 \times 10^{-5}$ M ต่อการทดสอบของท่ออสูจิ หมูขาว ที่เกิดจากการกระตุ้นด้วย BaCl <sub>2</sub> ขนาด 1 mM.....	60
36. แสดงผลของ S.V. ขนาด $4.4 \times 10^{-5}$ M ต่อการทดสอบของท่ออสูจิ หมูขาวที่เกิดจากการกระตุ้นด้วยขนาด BaCl <sub>2</sub> 1 mM.....	61

## สารบัญปีกาน (ต่อ)

รูปภาพที่	หน้า
37. แสดงผลของ $B_6$ ขนาด $4.4 \times 10^{-5}$ M ต่อการทดสอบท่ออสูจิ หนูขาวที่เกิดจากการกระตุ้นด้วย $BaCl_2$ ขนาด $1 \text{ mM}$ .....	62
38. กราฟแสดงผลของ CU-763-10-01 ขนาด $4.4 \times 10^{-5}$ M ต่อการทดสอบ ท่ออสูจิเปรียบเทียบกับ S.V. และ $B_6$ ขนาด $4.4 \times 10^{-5}$ M กระตุ้นด้วย $BaCl_2$ ขนาด $1 \text{ mM}$ .....	63
39. แสดงผลของ CU-763-10-01 ขนาด $4.4 \times 10^{-6}$ M และ $4.4 \times 10^{-5}$ M ต่อ การทดสอบท่ออสูจิเมื่อกระตุ้นด้วย NE ขนาด $1 \times 10^{-6}$ M .....	65
40. กราฟแสดงผลของ CU-763-10-01 ขนาด $4.4 \times 10^{-6}$ M ต่อการทดสอบ ท่ออสูจิเปรียบเทียบกับ CU-763-10-01 ขนาด $4.4 \times 10^{-5}$ M เมื่อกระตุ้น ด้วย NE ขนาด $1 \times 10^{-6}$ M .....	66
41. แสดงผลของ S.V. ขนาด $4.4 \times 10^{-5}$ M ต่อการทดสอบท่ออสูจิ หนูขาวที่เกิดจากการกระตุ้นด้วย NE ขนาด $1 \times 10^{-6}$ M .....	67
42. แสดงผลของ $B_6$ ขนาด $4.4 \times 10^{-5}$ M ต่อการทดสอบท่ออสูจิ หนูขาวที่เกิดจากการกระตุ้นด้วย NE ขนาด $1 \times 10^{-6}$ M .....	68
43. กราฟแสดงผลของ CU-763-10-01 ขนาด $4.4 \times 10^{-5}$ M ต่อการทดสอบ ท่ออสูจิเปรียบเทียบกับ S.V. และ $B_6$ ขนาด $4.4 \times 10^{-5}$ M กระตุ้นด้วย NE ขนาด $1 \times 10^{-6}$ M .....	69

จุฬาลงกรณ์มหาวิทยาลัย

## คำอธิบายสัญลักษณ์และคำย่อ

Ach	acetylcholine
BaCl <sub>2</sub>	barium chloride
Ba <sup>2+</sup>	barium ion
B <sub>6</sub>	pyridoxine hydrochloride
Ca <sup>2+</sup>	calcium ion
DAG	diacylglycerol
ED <sub>50</sub>	median effective dose
5-HT	5-hydroxytryptamine (serotonin)
IP <sub>3</sub>	inositol-1,4,5-trisphosphate
K <sup>+</sup>	potassium ion
KCl	potassium chloride
M	molar
MLCK	myosin light chain kinase
NE	noradrenaline
PIP <sub>2</sub>	phosphatidylinositol-4,5-bisphosphate
PLC	phospholipase C
POC	potential-operated calcium channel
ROC	receptor-operated calcium channel
SE	standard error
SR	sarcoplasmic reticulum
S.V.	sodium valproate
TD <sub>50</sub>	median neurotoxic dose
VOC	voltage-operated calcium channel
VPA	valproic acid